

## اثر اندازه دانه‌های خاک در شستدانه بر رفتار برشی آن

غلامحسین توکلی مهرجردی\*، فریبا مترجمی؛  
دانشگاه خوارزمی، دانشکده فنی مهندسی، تهران

تاریخ: دریافت ۹۵/۰۳/۲۷  
پذیرش ۹۵/۰۸/۱۰

### چکیده

ارزیابی پارامترهای مقاومت برشی خاک در پروژه‌های عمرانی و مباحثت پایداری از دیرباز بسیار حائز اهمیت بوده است. در این پژوهش، به منظور بررسی تأثیر اندازه دانه‌های مصالح در شستدانه بر پارامترهای مقاومت برشی و رفتار اتساعی خاک، تعدادی آزمایش برش مستقیم بزرگ مقیاس در حالت خشک انجام گرفته است. متغیرهای این پژوهش شامل سه نوع خاک درشت‌دانه بد دانه‌بندی شده با میانگین قطر ذرات ۳، ۶ و ۱۲ میلی‌متر، دو دانسیته نسبی ۵۰ و ۷۰ درصد و سربارهای قائم ۱۰۰، ۲۰۰ و ۳۰۰ کیلوپاسکال بوده است. نتایج نشان می‌دهد که با افزایش اندازه دانه‌های خاک و دانسیته نسبی به دلیل افزایش قفل و بست بین دانه‌ها، تمایل به اتساع بیشتر شده و مقاومت برشی حداقل نیز افزایش یافته است. به عبارت دیگر، مقاومت برشی نمونه‌ها با قطر میانگین ۶ و ۱۲ میلی‌متر نسبت به نمونه با قطر میانگین ۳ میلی‌متر به ترتیب حدود ۵ و ۲۴ درصد افزایش داشته است. همچنین افزایش اندازه دانه‌های خاک موجب افزایش نسبت مقاومت برشی ماندگار به مقاومت برشی حداقل شده و خاک به افت مقاومتی کمتری دچار شده است، به موازات آن زاویه اصطکاک داخلی، حداقل زاویه اتساع و زاویه اصطکاک در حجم ثابت، افزایش یافته است.

**واژه‌های کلیدی:** خاک درشت‌دانه، اندازه دانه‌های خاک، دانسیته نسبی، پارامترهای مقاومت برشی، زاویه اتساع

\*نویسنده مسئول ghtavakoli@khu.ac.ir

## مقدمه

مقاومت برشی، عمدۀ ترین عامل در تعیین رفتار خاک است. مقاومت برشی، مقاومتی است که خاک می‌تواند برای تاب آوردن در برابر گسیختگی و لغزش در امتداد هر صفحه دلخواه، بسیج کند. رفتار برشی خاک‌های درشت‌دانه را محققان متعددی بررسی کرده‌اند [۸]. رفتار مقاومتی و اتساعی مخلوط‌های حاوی شن و ماسه با انجام آزمایش‌های بزرگ مقیاس تحت سربار ۹۰ کیلوپاسکال بررسی کردند. مصالح استفاده شده در این تحقیق شامل یک نوع ماسه خوب دانه‌بندی شده با قطر میانگین ذرات  $7/0$  میلی‌متر و دو نوع شن بد دانه‌بندی شده و شن خوب دانه‌بندی شده به‌ترتیب با قطر میانگین ذرات  $4/5$  و  $7/5$  میلی‌متر است. در این تحقیق تفاوت رفتاری ماسه سیلیکا با مخلوط‌های شن و ماسه‌ای که با اضافه کردن درصد‌هایی از دو نوع شن به ماسه درست شدند بررسی شده است. نتایج نشان داد با اضافه کردن شن به مخلوط و با افزایش دانسیته نسبی موجب افزایش زاویه اصطکاک حداکثر و به‌تبع آن زاویه اتساع حداکثر و زاویه اصطکاک در حجم ثابت افزایش می‌یابد. از دیگر پژوهش‌های انجام شده می‌توان به بررسی رفتار مقاومتی و اتساعی مخلوط‌های شن و ماسه بد دانه‌بندی شده با دستگاه برش مستقیم بزرگ مقیاس تحت سربارهای  $150$ ،  $300$  و  $450$  کیلوپاسکال که فراتر از حد خردش‌دگی دانه‌ها است اشاره کرد [۶، ۷]. نتایج این پژوهش نشان داد که با افزایش درصد شن، میزان تراکم و سربار، مقاومت برشی مخلوط افزایش می‌یابد. همچنین کیم و ها (۲۰۱۴) [۱۰] اثر اندازه دانه‌ها بر مقاومت برشی خاک غیرمسلح و مسلح شده با ژئوگرید را روی سه نوع خاک ماسه خوب دانه‌بندی شده با حداکثر قطر دانه‌های  $4/5$  و  $7/5$  و  $15/9$  میلی‌متر تحت سربارهای  $98$  و  $294$  کیلوپاسکال تحت آزمایش برش بزرگ مقیاس، بررسی کردند. بر اساس نتایج آزمایشگاهی این تحقیق، در خاک‌های غیرمسلح با افزایش اندازه دانه‌ها، زاویه اصطکاک داخلی حداکثر افزایش می‌یابد. در پژوهش‌های محققان گذشته بررسی اثر اندازه دانه‌های خاک بر رفتار مقاومتی و اتساعی خاک‌های مخلوط شن و ماسه انجام شده است. اما در پژوهش حاضر، مجموعه منظمی از آزمایش‌های برش بزرگ مقیاس روی نوعی خاک ماسه بد دانه‌بندی شده با قطر میانگین دانه‌های  $3$  میلی‌متر و دو نوع شن بد دانه‌بندی شده با قطر

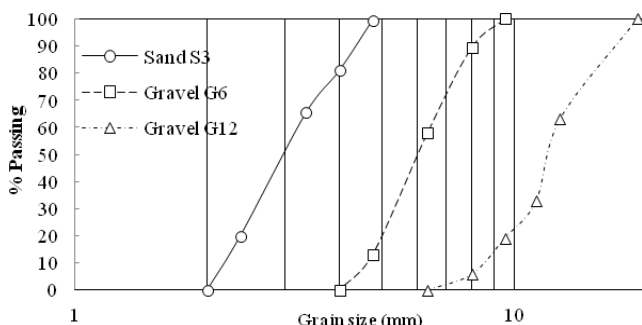
میانگین دانه های ۶ و ۱۲ میلی متر تحت سربارهای ۱۰۰، ۲۰۰ و ۳۰۰ کیلو پاسکال به منظور بررسی اثر اندازه دانه ها بر رفتار اتساعی و مقاومت برشی نمونه ها انجام شده است.

### مشخصات مصالح و برنامه آزمایش ها

مصالح استفاده شده در این تحقیق شامل یک نوع ماسه بد دانه بندی شده (SP) با قطر میانگین ذرات ۳ میلی متر و دو نوع شن بد دانه بندی شده (GP) با قطر میانگین ذرات ۶ و ۱۲ میلی متر است. منحنی دانه بندی هر سه نوع خاک بر اساس طبقه بندی سیستم متحده مطابق با شکل ۱ است. مشخصات فنی خاک آزمایش شده در جدول ۱ خلاصه شده است.

جدول ۱. مشخصات فنی سه نوع خاک استفاده شده در آزمایش ها

شن		ماسه	نوع خاک
G12	G6	S3	
۱۲/۰۵	۶/۴۵	۳/۲۲	D <sub>60</sub> (mm)
۱۲	۶	۳	D <sub>50</sub> (mm)
۱۰/۸۶	۵/۲۹	۲/۵۷	D <sub>30</sub> (mm)
۸/۴۵	۴/۵۸	۲/۱۹	D <sub>10</sub> (mm)
۱/۱۱	۰/۹۵	۰/۹۴	ضریب انحنای (C <sub>c</sub> )
۱/۴۹	۱/۴۱	۱/۴۷	ضریب یکنواختی (C <sub>u</sub> )
GP	GP	SP	رده خاک بر اساس سیستم متحده
۱۵/۵	۱۵/۶	۱۶/۰	
۱۴/۰	۱۴/۳	۱۴/۵	
۲/۶۵	۲/۶۶	۲/۶۷	
۰/۸۵	۰/۸۳	۰/۸۱	
۰/۶۷	۰/۶۷	۰/۶۱	
۱۴/۷۶	۱۴/۹۳	۱۵/۲۲	
۱۵/۰۶	۱۵/۲۰	۱۵/۰۳	



شکل ۱. توزیع دانه‌بندی برای هر سه نوع خاک

به منظور آماده‌سازی نمونه‌ها، با توجه به مشخصات فنی خاک (جدول ۱)، وزن هر نمونه با توجه به ابعاد جعبه برش مستقیم  $180 \times 300 \times 300$  میلی‌متر، در هر دانسیته نسبی محاسبه شده و نمونه‌ها در سه لایه در جعبه برش، متراکم شده است. کوبش لایه‌ها به آرامی و با استفاده از کوبه دستگاه برش انجام شده است. پس از ساخت نمونه، فشار سربار مورد نظر اعمال شده است.

در این دستگاه، نیروی برشی اعمال شده تابع میزان تغییر مکان برشی جعبه برش است که این تغییر مکان، به شکل یک مقدار ثابت انتخابی از طرف کاربر است. طبق استاندارد ASTM D5321-08 میزان تغییر مکان باید چنان آهسته باشد تا هیچ‌گونه اضافه فشار حفره‌ای در حین آزمایش به وجود نیاید. در صورتی که شرایط انجام آزمایش، بدون اضافه فشار آب حفره‌ای باشد، می‌توان حداقل میزان تغییر مکان ۱ میلی‌متر بر دقیقه را انتخاب کرد. از آن‌جاکه در این تحقیق در همه آزمایش‌ها مصالح استفاده شده از نوع درشت دانه است و در شرایط خشک انجام گرفته است، میزان تغییر مکان  $0.5 / 5$  میلی‌متر بر دقیقه انتخاب شده است. هم‌چنین طبق استاندارد باید فاصله‌ای بین قسمت تحتانی و فوقانی جعبه برش لحظه شود تا از اصطکاک بین دو نیمه جلوگیری شود ولی این فاصله نباید آنقدر زیاد باشد که دانه‌های خاک از فضای خالی دچار ریزش شود. بدین‌منظور، فاصله بین دو جعبه ۱ میلی‌متر در نظر گرفته شد [۸]. شکل ۲ نمای کلی از دستگاه برش مستقیم بزرگ مقیاس را نشان می‌دهد.

بدین‌ترتیب، به منظور بررسی اثر اندازه دانه‌های خاک بر رفتار برشی توده خاک، آزمایش برش مستقیم مطابق با جدول ۲ انجام شده است. پارامترهای متغیر شامل سربار قائم،

قطر میانگین ذرات خاک و دانسیته نسبی آن است. در جدول ۲ نام اختصاری آزمایش در سه قسمت A-B-C ارائه شده است که A نوع خاک همراه با قطر میانگین ذرات، B دانسیته نسبی و C مقدار سربار قائم را مشخص می کند.

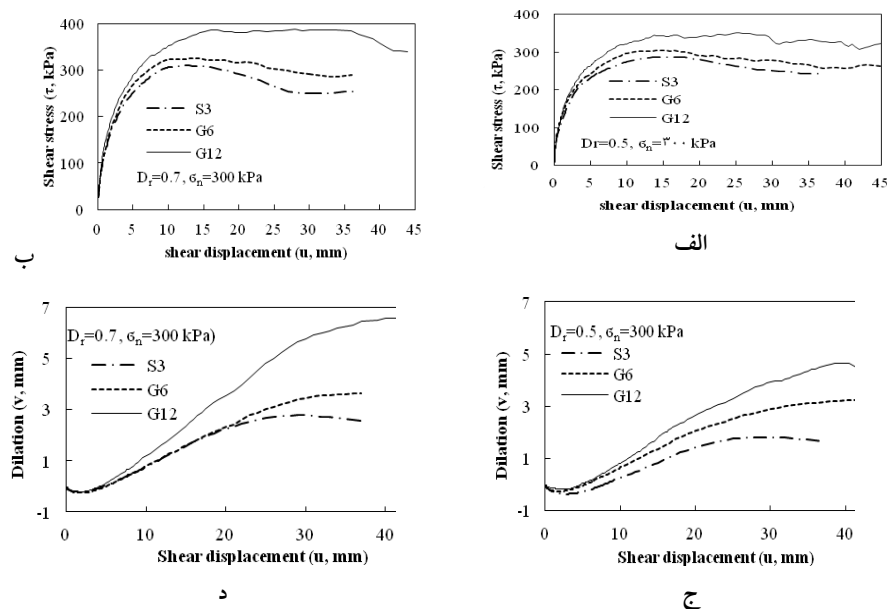


شکل ۲. نمای کلی از دستگاه برش مستقیم بزرگ مقیاس  
جدول ۲. برنامه آزمایش ها

نام آزمایش	سربار قائم $\sigma_n$ (kPa)	دانسیته نسبی $D_r$ (%)	نوع خاک	شماره آزمایش
S3-50-100	۱۰۰	۵۰	$(D_{50}=3 \text{ mm})$ ماسه	۱
S3-50-200	۲۰۰			۲
S3-50-300	۳۰۰			۳
S3-70-1	۱۰۰			۴
S3-70-200	۲۰۰			۵
S3-70-300	۳۰۰			۶
G6-50-100	۱۰۰	۵۰	$(D_{50}=6 \text{ mm})$ شن	۷
G6-50-200	۲۰۰			۸
G6-50-300	۳۰۰			۹
G6-70-100	۱۰۰			۱۰
G6-70-200	۲۰۰			۱۱
G6-70-300	۳۰۰			۱۲
G12-50-100	۱۰۰	۵۰	$(D_{50}=12 \text{ mm})$ شن	۱۳
G12-50-200	۲۰۰			۱۴
G12-50-300	۳۰۰			۱۵
G12-70-100	۱۰۰			۱۶
G12-70-200	۲۰۰			۱۷
G12-70-300	۳۰۰			۱۸

## تحلیل و تفسیر نتایج

منحنی تغییرمکان برشی - تنش برشی و تغییرمکان قائم قائم برای هر سه نوع خاک تحت سربار قائم ۳۰۰ کیلوپاسکال با دانسیته نسبی ۵۰ و ۷۰ درصد در شکل ۳ ارائه شده است. با توجه به شکل ۳ در همه نمونه‌ها با تراکم نسبی متوسط و متراکم، با افزایش تغییرمکان برشی، تنش برشی افزایش یافته و به مقدار حد اکثر ( $\tau_{\max}$ ) رسیده و سپس به مقداری مشخص ( $\tau_{cv}$ ) کاهش می‌یابد. این مقدار تنش برشی مشخص، تنش برشی ماندگار نامیده می‌شود. در همه نمونه‌ها با تراکم نسبی متوسط و متراکم، در ابتدا به دلیل فرورفتگی دانه‌ها در یکدیگر حجم نمونه کاهش یافته و سپس به دلیل غلطیدن دانه‌ها روی یکدیگر، دچار اتساع شده است. در مقادیر بزرگ تغییرمکان برشی، حجم نمونه تقریباً ثابت شده است (شکل ۳ ج و د). چنان‌که مشاهده می‌شود با افزایش اندازه دانه‌ها قفل و بست بین دانه‌ها افزایش یافته، در نتیجه تمایل به اتساع نیز بیشتر شده و مقاومت برشی خاک افزایش می‌یابد.



شکل ۳: رفتار برشی و اتساعی برای سه نوع خاک تحت سربار ۳۰۰ کیلوپاسکال با دانسیته نسبی (الف) و (ج) ۵۰ درصد و (ب و د) ۷۰ درصد

### زاویه اصطکاک و چسبندگی

در جدول ۳ پارامترهای مقاومت برشی، زاویه اصطکاک داخلی ( $\phi$ ) و چسبندگی (c) هرسه نوع خاک خلاصه شده است. با توجه به نتایج جدول ۳، با افزایش اندازه دانه های خاک و دانسیته نسبی پارامترهای مقاومت برشی افزایش می یابد. با فرض پوش خطی موهر، با افزایش اندازه دانه های خاک، چسبندگی ظاهری در خاک های درشت دانه مشاهده شده است. رخداد چسبندگی ظاهری در توده خاک درشت دانه مخصوصاً در خاک با ذرات بزرگ تر می تواند به دلیل اندرکنش زیاد بین دانه ای و مقاومت در برابر خرد شدن درشت دانه ها به دلیل کرنش برشی زیاد باشد.

جدول ۳. پارامترهای مقاومت برشی خاک ها با فرض خطی بودن پوش گسیختگی

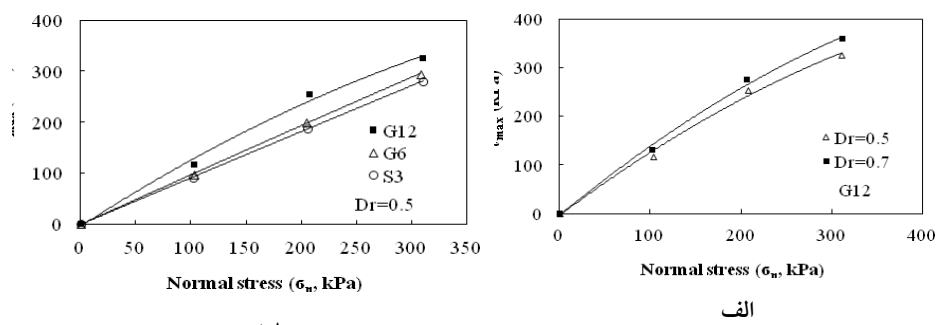
Soil Type	$D_{50}$ (mm)	$D_r=0.5$		$D_r=0.7$	
		$\phi_{peak}$ (Deg.)	c (kPa)	$\phi_{peak}$ (Deg.)	c (kPa)
S3	۳	۴۱/۹	۲/۴	۴۳/۷	۶/۳
G6	۶	۴۳/۵	۶/۳	۴۵/۲	۶/۵
G12	۱۲	۴۶/۴	۱۲/۲	۴۹/۵	۱۲/۹

با توجه به شکل ۴ پوش گسیختگی موهر غیرخطی بوده و با توجه به ماهیت غیر چسبنده بودن خاک این پوش از مبدأ فضای تنفس های عمودی و برشی می گذرد؛ برای خاک شنی با  $D_{50}=12\text{ mm}$  در دو دانسیته ۵۰ و ۷۰ درصد پوش گسیختگی به صورت غیرخطی ترسیم و با تقریب خوبی با رابطه درجه دوم تخمین زده شده است. به منظور محاسبه زاویه اصطکاک داخلی و چسبندگی ظاهری در هر نقطه از منحنی، معادله خط مماس در هر نقطه مطابق رابطه (۱) به دست آمده است. شبیه خط مماس ( $m = \frac{d\tau}{d\sigma_n}$ ) در هر نقطه از منحنی، معادل تانزانت زاویه اصطکاک داخلی و عرض از مبدأ آن، معادل چسبندگی ظاهری است. رابطه (۲) و (۳) معادله پوش گسیختگی در فضای  $(\sigma_n - \tau)$  به ترتیب برای درصد های تراکم ۵۰ و ۷۰ درصد برای خاک G12 است.

$$\tau = m \sigma_n + c \quad (1)$$

$$D_r = 0.5 \rightarrow \tau = -0.001 \sigma_n^2 + 1.399 \sigma_n - 4.048, \quad R^2 = 0.994 \quad (2)$$

$$D_r = 0.7 \rightarrow \tau = -0.001 \sigma_n^2 + 1.538 \sigma_n - 3.745, \quad R^2 = 0.996 \quad (3)$$



شکل ۴. پوش غیرخطی گسیختگی موهر-کلمب (الف) خاک G12 تحت تراکم نسبی ۵۰ و ۷۰ درصد، (ب) هر سه نوع خاک با تراکم نسبی ۵۰ درصد

نتایج محاسبه پارامترهای مقاومت برشی تحت سربارهای مختلف و دانسیته نسبی ۵۰ و ۷۰ درصد برای خاک G12 در جدول ۴ خلاصه شده است. با توجه به جدول ۴ و شکل ۴ با افزایش دانسیته نسبی پوش گسیختگی به سمت بالا حرکت کرده و پارامترهای مقاومت برشی افزایش می‌یابد. در یک دانسیته نسبی مشخص با افزایش سربار قائم زاویه اصطکاک داخلی کاهش و چسبندگی ظاهری افزایش می‌یابد. به عبارت دیگر پوش گسیختگی افقی‌تر می‌شود. هم‌چنین مطابق با شکل ۴ ب با کاهش اندازه دانه‌های خاک پوش منحنی گسیختگی به سمت پایین حرکت کرده و از انحنای آن کاسته شده است.

جدول ۴. پارامترهای مقاومت برشی خاک G12 فرض غیرخطی بودن پوش گسیختگی تحت سربارهای مختلف

Soil Type	D <sub>50</sub> (mm)	D <sub>r</sub>	σ <sub>n</sub> (kPa)	φ <sub>peak</sub> (Deg.)	c (kPa)
G12	12	0/5	100	50/1	5/9
			200	44/9	35/9
			300	38/6	85/9
	0/V	0/V	100	53/2	7/2
			200	48/7	36/2
			300	43/2	86/2

اعداد به دست آمده از جدول ۴ بیان گر آن است که هرچند با افزایش سربار موجب کاهش زاویه اصطکاک شده است، از طرفی، منجر به افزایش چشم گیر چسبندگی ظاهری شده و در کل این تغییرات، افزایش مقاومت برشی را در پی داشته است.

#### زاویه اتساع

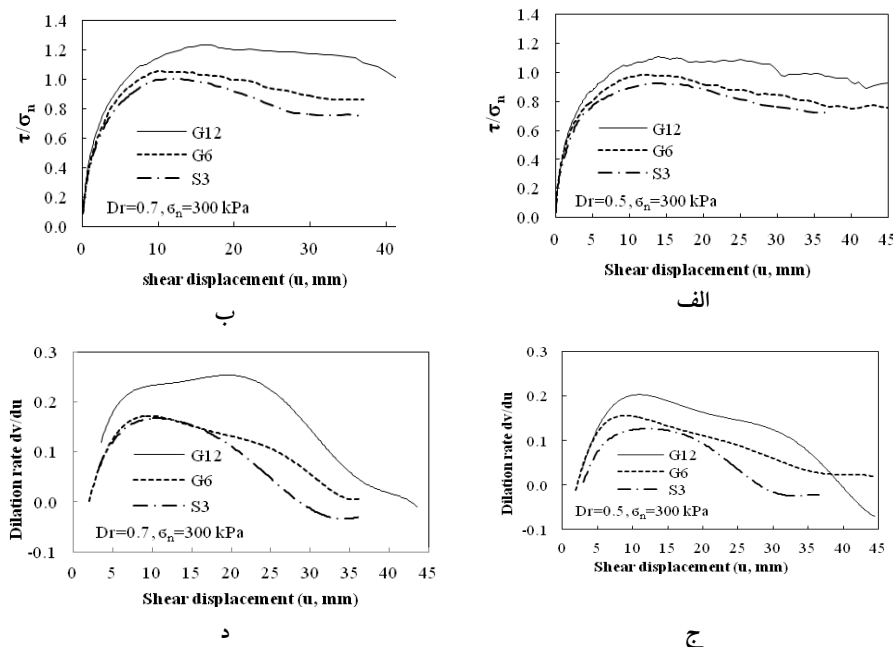
شکل ۵ تغییرات پارامتر بی بعد تنش (نسبت تنش برشی به تنش قائم مؤثر) و همچنین تغییرات میزان اتساع را نسبت به تغییر شکل برشی هر سه نوع خاک نشان می دهد. به منظور محاسبه میزان اتساع ( $dv/du$ ) از دو مقدار قرائت شده تغییر مکان قائم ( $u$ ) و تغییر مکان برشی ( $v$ ) استفاده شده است. به عبارت دیگر می توان از رابطه (۴) برای محاسبه زاویه اتساع استفاده کرد.

$$\tan \Psi = \frac{dv}{du} \quad (4)$$

که در آن  $\Psi$  زاویه اتساع خاک است. برای تعیین زاویه اتساع حداکثر ( $\Psi_{max}$ )، حداکثر میزان اتساع ( $dv/du_{max}$ ) متناظر با نقطه ماکریم منحنی میزان اتساع - تغییر مکان برشی در نظر گرفته شده است (شکل ۵). با توجه به شکل ۵ حداکثر زاویه اتساع و حداکثر نسبت ( $\tau/\sigma_n$ ) تقریباً در یک تغییر مکان برشی رخ می دهد. به عبارت دیگر، بیشترین مقاومت برشی در برابر حرکت در صفحه گسیختگی مربوط به لحظه ای است که نمونه بیشترین میزان اتساع را از خود نشان داده است. بدین ترتیب می توان نتیجه گرفت که میزان اتساع حداکثر ارتباط مستقیمی با مقاومت برشی حداکثر دارد. به عبارت دیگر، افزایش میزان اتساع حداکثر بیان گر افزایش مقاومت برشی حداکثر بوده است.

با توجه به شکل ۵ الف و ب واضح است که با افزایش اندازه دانه ها، نسبت تنش برشی به تنش نرمال ( $\tau/\sigma_n$ ) افزایش می یابد. این امر می تواند به دلیل افزایش حجم بیشتر نمونه با اندازه دانه های بزرگ تر و در نتیجه مشارکت بیشتر زاویه اتساع در افزایش مقاومت برشی باشد. شکل ۵ اثر تراکم نسبی بر منحنی های نسبت تنش برشی، تغییر مکان قائم و میزان اتساع در مقابل تغییر مکان برشی برای نمونه G12 تحت سربار قائم ۳۰۰ کیلوپاسکال را نشان می دهد. با توجه به شکل ۵ مشخص است با افزایش دانسیتی نسبی، فضای خالی بین دانه ها کاسته،

مقاومت نمونه در برابر کاهش حجم افزایش یافته و در پی آن اتساع بیشتر و مقاومت برشی نمونه افزایش می‌یابد.



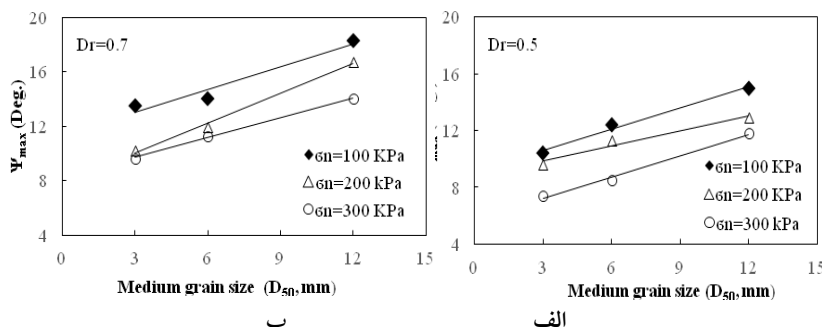
شکل ۵. رفتار برشی و اتساعی برای سه نوع خاک تحت سربار ۳۰۰ کیلوپاسکال با دانسیتی نسبی (الف و ج) ۵۰ و (ب و د) ۷۰ درصد

شکل ۶، تغییرات زاویه اتساع حداقل خاک را با توجه به تغییرات اندازه دانه‌های خاک، سربار قائم و دانسیتی نسبی ارائه می‌دهد. با توجه به شکل ۶، اتساع با افزایش اندازه دانه‌های خاک و دانسیتی نسبی، افزایش و با افزایش سربار قائم، کاهش می‌یابد. هر چند افزایش سربار موجب کاهش اتساع و زاویه اصطکاک داخلی خاک (جدول ۴) می‌شود ولی با افزایش تنفس مؤثر بین دانه‌ها، موجب محدودیت بیشتر در برابر حرکت و غلتیدن و بهروز چسبندگی ظاهری و در نتیجه موجب افزایش مقاومت برشی می‌شود. در جدول ۵ نتایج نسبت ضریب مقاومتی نمونه‌های G12 و G6 نسبت به نمونه S3 خلاصه شده است. با توجه به نتایج جدول ۵ ملاحظه می‌شود در تراکم‌های نسبی ۵۰ و ۷۰ درصد همواره این نسبت بزرگ‌تر از یک است و با افزایش اندازه دانه‌های خاک، مقاومت برشی افزایش می‌یابد. همچنین با ۲ و ۴ برابر شدن قطر میانگین ذرات، نسبت ضریب مقاومتی برشی به ترتیب حدود ۵ و ۲۴ درصد

افزایش یافته است. در این تحقیق از سه نوع خاک درشت دانه با قطرهای میانگین (۳، ۶ و ۱۲ میلی‌متر) استفاده شده است و با افزایش اندازه دانه‌های خاک درشت‌دانه، مقاومت برشی حداکثر در تغییرمکان‌های برشی بیش‌تر رخ می‌دهد و در هنگام گسیختگی دچار افت مقاومتی کم‌تر می‌شود (جدول ۶). اما با افزایش دانسیته نسبی، به‌دلیل کاهش تخلخل و افزایش اصطکاک بین آن‌ها، نمونه تمایل به فشردگی اولیه کم‌تر و اتساع بیش‌تر داشته، در نهایت منجر به افزایش مقاومت برشی حداکثر و نهایی شده است. این نتایج با نتایج حمیدی و همکاران (۲۰۱۲) که بر اساس آزمایش‌های برش مستقیم بزرگ مقیاس روی سه نوع خاک درشت‌دانه شامل ماسه خوب دانه‌بندی شده و دو نوع شن خوب دانه‌بندی شده به‌ترتیب با قطر میانگین دانه‌ها معادل ۴، ۷/۹ و ۱۰ میلی‌متر است، مطابقت دارد. بر اساس نتایج این تحقیق با افزایش اندازه دانه‌ها، موجب افزایش تنفس برشی حداکثر می‌شود و در تغییرمکان برشی بیش‌تری رخ می‌دهد. در حالی که با افزایش دانسیته نسبی، تنفس برشی حداکثر افزایش یافته ولی در تغییر مکان برشی کم‌تری رخ می‌دهد و منجر به افزایش سختی خاک می‌شود.

#### جدول ۵. نتایج نسبت ضریب مقاومتی نمونه‌های G6 و G12 نسبت به نمونه‌های S3

		$\sigma_n=100$ (kPa)	$\sigma_n=200$ (kPa)	$\sigma_n=300$ (kPa)
$(\tau/\sigma_n)_{\max G6}/(\tau/\sigma_n)_{\max S3}$	$\frac{(D_{50})_{G6}}{(D_{50})_{S3}} = \gamma$	$Dr=+/\vee$	۱/۰۵	۱/۰۵
		$Dr=-/\wedge$	۱/۰۴	۱/۰۷
$(\tau/\sigma_n)_{\max G12}/(\tau/\sigma_n)_{\max S3}$	$\frac{(D_{50})_{G12}}{(D_{50})_{S3}} = \xi$	$Dr=+/\vee$	۱/۲۴	۱/۲۹
		$Dr=-/\wedge$	۱/۲۵	۱/۲۴



شکل ۶. تغییرات زاویه اتساع حداکثر در خاک‌های مختلف برای تراکم نسبی (الف) ۵۰ درصد، (ب)

درصد ۷۰

### جدول ۶. نتایج نسبت مقاومت برشی ماندگار به مقاومت برشی حداکثر

$D_r$	Soil type			
		$\sigma_n = 100 \text{ (kPa)}$	$\sigma_n = 200 \text{ (kPa)}$	$\sigma_n = 300 \text{ (kPa)}$
0.5	S3	0.77	0.77	0.86
	G6	0.86	0.88	0.91
	G12	0.89	0.90	0.96
0.7	S3	0.79	0.82	0.82
	G6	0.85	0.88	0.90
	G12	0.92	0.93	0.98

به منظور مقایسه عددی نتایج تغییر مکان نمونه های آزمایش شده، در جدول ۷ ارائه شده است. با مقایسه نتایج ارائه شده در جدول ۷ افزایش دو عامل اندازه دانه ها و تراکم نسبی موجب کاهش مقدار تغییر مکان قائم منفی (کاهش فشردنگی اولیه) و افزایش حداکثر تغییر مکان قائم مثبت (افزیش حجم بیشتر) می شود این در حالی که اثر افزایش سربار قائم عملکرد معکوس بر مقادیر تغییر مکان قائم مثبت و منفی دارد.

### زاویه اصطکاک حداکثر و زاویه اصطکاک در حجم ثابت

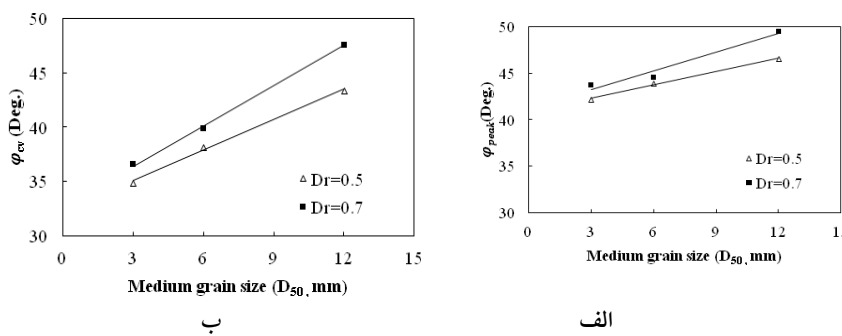
شکل ۷، کردار تأثیر اندازه دانه های خاک و دانسیته نسبی بر زاویه اصطکاک حداکثر و زاویه اصطکاک در حجم ثابت را ارائه می دهد. با استناد به شکل ۷ الف و نتایج جدول ۳ ملاحظه می شود که با افزایش اندازه دانه ها و تراکم نسبی، زاویه اصطکاک حداکثر و زاویه اصطکاک در حجم ثابت ( $0 \approx dv/du$ ) نیز افزایش می یابد. در واقع به موجب افزایش اندازه دانه ها سطح تماس اصطکاکی و قفل و بست بین دانه ها افزایش و در نتیجه مقاومت برشی حداکثر نیز افزایش می یابد و در پی آن، موجب افزایش زاویه اصطکاک حداکثر می شود. همچنین با افزایش دانسیته نسبی فضای خالی بین دانه ها کاهش یافته و تمایل به اتساع بیشتر شده و با افزایش حجم بیشتر، مقاومت برشی حداکثر افزایش می یابد.

به منظور مقایسه روند تغییرات زاویه اصطکاک خاک با زاویه اتساع خاک شکل ۸ ارائه شده است. با توجه به شکل ۸ مشاهده می شود زاویه اصطکاک حداکثر و زاویه اتساع حداکثر برای هر سه نوع خاک، تقریباً در یک تغییر مکان برشی اتفاق افتاده است. همچنین مشخص است که

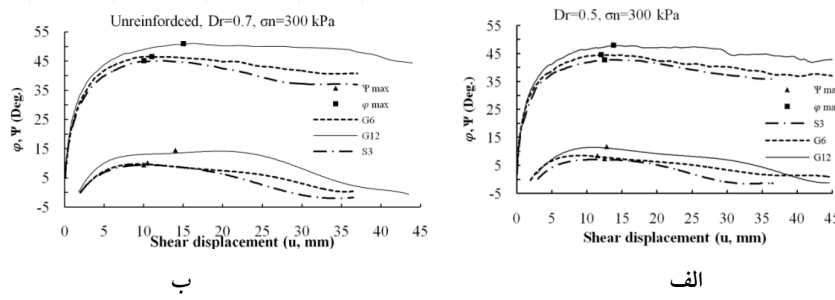
روند تغییرات زاویه اتساع خاک، زاویه اصطکاک خاک و همچنین نسبت مقاومت برشی به تنش قائم (شکل ۵) یکسان است زاویه اصطکاک حداکثر و زاویه اتساع حداکثر، با افزایش دانه های خاک در تغییر مکان برشی بزرگ تر و با افزایش دانسیته نسبی در تغییر مکان برشی کمتری رخ داده است

#### جدول ۷. نتایج تغییر مکان برشی و تغییر مکان قائم نمونه های آزمایش شده

حداکثر تغییر مکان قائم مثبت (mm)	حداکثر تغییر مکان قائم منفی (mm)	تغییر مکان برشی در (mm) $\tau_{max}$	نام آزمایش
۱/۸۲	-۰/۳۶	۹/۶	S3-UR-50-100
۲/۲۳	-۰/۳۶	۱۲/۵	S3-UR-50-200
۲/۷۳	-۰/۲۱	۱۴/۵	S3-UR-50-300
۲/۷۹	-۰/۲	۹/۰	S3-UR-70-
۲/۸۵	-۰/۱۵	۱۰/۵	S3-UR-70-200
۴/۱۳	-۰/۰۵	۱۳/۵	S3-UR-70-300
۳/۳۶	-۰/۲۵	۱۳/۵	G6-UR-50-100
۳/۶۹	-۰/۱۸	۱۴/۵	G6-UR-50-200
۳/۷۲	-۰/۱۲	۱۶/۰	G6-UR-50-300
۳/۶۳	-۰/۲۴	۱۳/۵	G6-UR-70-100
۳/۸۴	-۰/۱۶	۱۴/۰	G6-UR-70-200
۵/۰۴	-۰/۰۲	۱۵/۵	G6-UR-70-300
۴/۶۶	-۰/۱۸	۱۷/۵	G12-UR-50-100
۳/۵۹	-۰/۱۸	۲۰/۰	G12-UR-50-200
۵/۱۷	-۰/۰۲	۲۲/۵	G12-UR-50-300
۷/۵۷	-۰/۲۱	۱۶/۵	G12-UR-70-100
۷/۰۲	-۰/۱۱	۱۹/۰	G12-UR-70-200
۷/۶۳	-۰/۰۲	۱۷/۵	G12-UR-70-300



شکل ۷: تاثیر اندازه دانه‌های خاک و دانسیته نسبی بر (الف) زاویه اصطکاک حداکثر و (ب) زاویه اصطکاک در حجم ثابت



شکل ۸: تغییرات زاویه اصطکاک داخلی و زاویه اتساع در برابر تغییر مکان برشی با دانسیته نسبی  
الف)، ب) ۷۰ درصد تحت سربار قائم ۳۰۰ کیلوپاسکال برای انواع خاکها

### نتیجه‌گیری

این پژوهش به منظور بررسی آزمایشگاهی تأثیر اندازه دانه‌های خاک و دانسیته نسبی بر رفتار برشی و اتساعی خاک‌های درشت‌دانه انجام شده و این نتایج به دست آمده است:

- در خاک‌های درشت‌دانه با تراکم نسبی متوسط و متراکم، با افزایش تغییر مکان برشی، تنش برشی افزایش یافته و به مقدار حداکثر خود ( $\tau_{\max}$ ) می‌رسد و سپس تقریباً به مقداری ثابت ( $\tau_{cv}$ ) کاهش می‌یابد. این مقدار تنش برشی ثابت، تنش برشی ماندگار نامیده می‌شود.
- همه نمونه‌ها در ابتدای تغییر مکان برشی، کاهش حجم اندکی داشته و با افزایش تغییر مکان برشی دجار افزایش حجم می‌شوند. با افزایش تغییر مکان برشی ابتدا میزان

اتساع به حداکثر رسیده و سپس کاهش می یابد و در انتهای آزمایش مقدار آن ثابت می شود و در برخی موارد نمونه در تغییر مکان زیاد کاهش حجم از خود نشان می دهد (میزان اتساع منفی).

- هر چند افزایش سربار موجب کاهش اتساع می شود ولی با افزایش مقاومت دانه ها در برابر حرکت و غلظیدن، موجب افزایش مقاومت برشی می شود.
- با افزایش اندازه دانه های خاک و دانسیته نسبی مقاومت برشی خاک افزایش می یابد. این موضع بیشتر به دلیل افزایش اتساع نمونه با توجه به منحنی های تغییر حجم نمونه است. با افزایش اتساع نمونه ها، قفل و بست بین دانه ها و درگیری آن ها بیشتر شده و موجب افزایش مقاومت نمونه شده و به تبع آن موجب افزایش زاویه اصطکاک حداکثر، زاویه اصطکاک در حجم ثابت و زاویه اتساع حداکثر می شود.
- با افزایش اندازه دانه های خاک و دانسیته نسبی مقاومت برشی حداکثر در تغییر مکان برشی بزرگ تری رخ می دهد.
- پوش گسیختگی همه نمونه ها منحنی از درجه ۳ است. با افزایش سربار قائم، شبیه مماس بر منحنی افقی تر می شود به عبارتی با افزایش سربار قائم زاویه اصطکاک داخلی کاهش و چسبندگی ظاهری افزایش می یابد. هم چنین با افزایش اندازه دانه های خاک و دانسیته نسبی پوش گسیختگی به سمت بالا حرکت کرده و انحنای آن بیشتر می شود.
- مقاومت برشی نمونه با قطر میانگین ۶ و ۱۲ میلی متر نسبت به نمونه با قطر میانگین ۳ میلی متر به ترتیب حدود ۵ و ۲۴ درصد افزایش داشته است.
- با افزایش اندازه دانه های خاک و دانسیته نسبی، نسبت مقاومت برشی ماندگار بر مقاومت برشی حداکثر افزایش می یابد، به عبارتی افت مقاومتی کاهش می یابد

### منابع

1. American Society for Testing and Materials (ASTM), Standard Test Method for Particle-Size Analysis of Soil. ASTM D422-07 (2007).
2. American Society for Testing and Materials (ASTM), Standard Test Methods for Minimum Index Density and Unit Weight of Soils Using a Vibratory Table. ASTM D4254-12 (2007).

3. American Society for Testing and Materials (ASTM), Standard Test Methods for Maximum Index Density and Unit Weight of Soils and Calculation of Relative Density. ASTM-D4253-12 (2012).
4. American Society for Testing and Materials (ASTM), Standard Test Method for Specific Gravity of Soil Solids by Water Pycnometer. ASTM-D854-12 (2012).
5. American Society for Testing and Materials (ASTM), Standard Test Method for Determining the Coefficient of Soil and Geosynthetic or Geosynthetic and Geosynthetic Friction by the Direct Shear Method. ASTM-D5321-08 (2008).
6. Hamidi A., Yazdanjou V., Salimi N., "Shear Strength Characteristics of Sand-Gravel Mixtures", International Journal of Civil Engineering, 3 (1) (2009-a) 29-38.
7. Hamidi A., Alizadeh M., Soleimani S. M., "Effect of Particle Crushing on Shear Strength (2009-b).
8. Simoni A., Houlsby G. T., "The direct shear strength and dilatancy of sand-gravel mixtures, Geotechnical Engineering Journal, 24(3) (2006) 523-549
9. Mohr O., "Welche Umstände Bedingen die Elastizitätsgrenze und den Bruch eines Materials", Zeitschrift des Vereines Deutcher Ingenieure, vol. 44, pp. 1524-1530 (1900) 1572-1577.
10. Kim D., Ha S., "Effect of Particle Size on the Shear Behavior of Coarse Grained Soil Reinforced with Geogrid", materials, volume 7 (2014) 963-979.
11. Hamidi A., Azini E., Masoudi B., "Impact of gradation on the shear strength-dilation behavior of well", Scientia Iranica, 19(3) ((2012)) 393-402.